

СӘУЛЕТ ЖӘНЕ ҚҰРЫЛЫС  
АРХИТЕКТУРА И СТРОИТЕЛЬСТВО  
ARCHITECTURE AND CONSTRUCTION

DOI 10.51885/1561-4212\_2024\_2\_241  
MFTAA 67.03.03

**С.Б. Ахажанов<sup>1</sup>, Б.М. Нурланова<sup>1</sup>, Л.К. Абеуова<sup>1</sup>, А.Н. Мергенбекова<sup>2</sup>**

<sup>1</sup>Қарағанды Бекетов университеті, Қарағанды қ., Қазақстан

E-mail: stjg@mail.ru\*

E-mail: b.nurlanova@mail.ru

E-mail: alk83@mail.ru

<sup>2</sup>Қарағанды медицина университеті, Қарағанды қ., Қазақстан

E-mail: asel\_45520@mail.ru

**ЖҰҚА ИЗОТРОПТЫ ПЛАСТИНАЛАРДЫҢ ИЛУІН ТАЛДАУ**

**АНАЛИЗ ИЗГИБА ТОНКИХ ИЗОТРОПНЫХ ПЛАСТИН**

**BENDING ANALYSIS OF THIN ISOTROPIC PLATES**

**Abstract.** In the field of modern construction, thin isotropic plates are widely used. The development of calculation methods and mathematical models for thin isotropic plates of rectangular shape is an important issue. The article examines the bending of a rectangular thin isotropic plate. The method of separation of variables is employed to derive the plate calculation theory. New formulas for the function of deflection and internal forces of the plate are determined. A simplified version of the classical theory is presented, defining the solution to the plate bending problem using simple polynomials. The values of the deflection function and internal forces of a rectangular thin isotropic plate are presented in the form of tables and diagrams. The obtained calculation results are compared with Navier's method and the finite element method. The results obtained completely coincide with the results obtained by other methods and thereby confirm the correctness of the proposed version of the theory.

**Keywords:** Thin isotropic plate, method of separation of variables, Navier's solution, deflection function, bending moment, transverse force, torque.

**Аңдатпа.** Қазіргі заманда құралыс саласында жұқа изотропты пластиналар кеңінен қолданылады. Тікбұрышты жұқа изотропты пластиналарды есептегу әдістері мен математикалық моделдерін құру маңызды мәселе болып табылады. Мақалада тікбұрышты жұқа изотропты пластинаның іліу қарастырылған. Пластиналардың есептегу теориясын алу үшін айнымалыларды бөлу әдісі пайдаланылған. Пластинаның майысу функциясы мен ішкі күштерінің жаңа формулалары анықталған. Пластинаны іліуінің шешімін қарапайым полиномдар арқылы анықтайтын классикалық теорияның женилдегілген нұсқасы ұсынылған. Тікбұрышты жұқа изотропты пластинаның майысу функциясының және ішкі күштерінің мәндері кестелер мен эпюларлар бойынша көрсетілген. Есептегу нәтижелері Навье және ақырлы элементтер әдістерімен салыстырылған. Алынған нәтижелер басқа әдістермен алғынған нәтижелермен толығымен сәйкес келеді және ұсынылған теорияның нұсқасының дұрыстығын растайды.

**Түйін сөздер:** Жұқа изотропты пластина, айнымалыларды бөлу әдісі, Навье және ақырлы элементтер әдістерімен салыстырылған теорияның нұсқасының дұрыстығын растайды.

**Аннотация.** В сфере современного строительства широко используются тонкие изотропные пластины. Важным вопросом является разработка методов расчета и математических моделей тонких изотропных пластин прямоугольной формы. В статье рассмотрен изгиб прямоугольной тонкой изотропной пластины. Для вывода теории расчета пластин использован метод разделения переменных. Определены новые формулы функции прогиба и внутренних сил пластины. Представлена упрощенная версия классической теории, определяющая решение задачи изгиба пластины с помощью простых полиномов. Значения функции прогиба и внутренних сил прямоугольной тонкой изотропной пластины представлены в виде таблиц и эпюр. Результаты расчета сравниваются с методом Навье и методом конечных элементов. Полученные результаты полностью совпадают с результатами,

*полученными другими методами и тем самым подтверждают правильность предложенного варианта теории.*

**Ключевые слова:** Тонкая изотропная пластина, метод разделения переменных, решение Навье, функция прогиба, изгибающий момент, поперечная сила, крутящий момент.

*Kipicse.* Қазіргі заманғы өнеркәсінте, сондай-ақ құрылышта, илүде жұмыс істейтін жұқа изотропты пластиналар түріндегі конструкцияның элементтері кеңінен қолданылады. Берілген жүктемелердің әсерінен мұндай элементтерді беріктікке, орнықтылыққа және тербеліс есептеу конструкцияны жобалау процесінде қажетті кезендердің бірі болып саналады. Илу деформациясына ұшырайтын жұқа қабырғалы конструкциялардың ерекшелігі ретінде қалындығы бойынша бірқалыпсыз таралған үлкен кернеулердің пайда болуын айтуға болады, бұл қолданылатын математикалық модельдер мен есептеу әдістерінің дәлдігіне жоғары талаптарды қояды. Осылан байланысты қарапайым ғеометриялық пішінді пластиналардың илу есептерін шешудің аналитикалық әдістерін зерттеу мәселесі өзекті болады, яғни ол жана модельдерді әзірлеуде және есептеу үлфілерін құруда маңызды болып табылады.

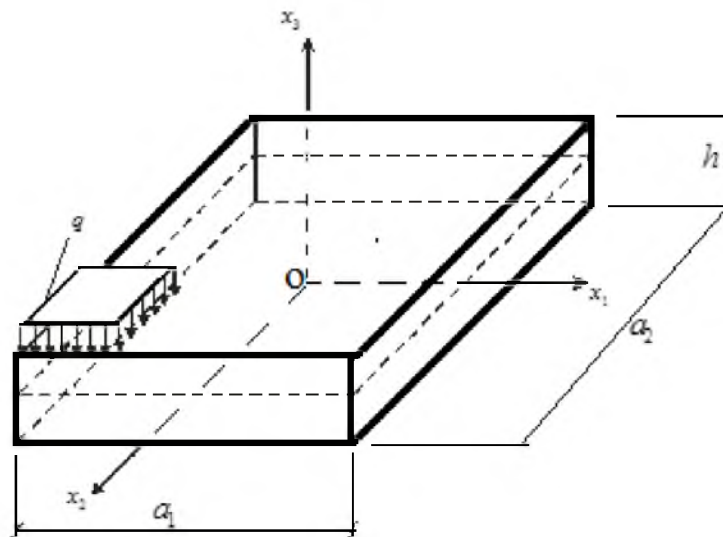
Изотропты пластинаның илуінің классикалық теориясы Г. Кирхгоф ғипотезаларын қолдану арқылы жасалады. Бұл теорияда жылжулар мен деформациялар, кернеулік күй, Гук заңдарының өрнектері және тепе-тендік дифференциалдық тендеулердің арнайы шешімдері қарастырылады.

Изотропты пластинаның илуін есептеу үшін аналитикалық әдістер мен сандық әдістер қолданылады. Аналитикалық әдістер қатарына Ритн-Тимошенко, Бубнов-Галеркин, Канторович-Власов, Навье, Леви т.б. жатқызуға болады. Бұл әдістер бойынша пластинаның белгісіз майысу функциясының шешімі қатар түрінде ізделінеді.

Классикалық және нақтыланған пластиналар теориясымен көптеген зерттеушілер әртурлі жағдайда теориялар құрып, талдаудар жасап келеді. Классикалық пластиналар теориясында ортаңғы беттегі нормаль сызықтық деформацияға дейін және одан кейін де өзгеріссіз қалады деғен болжамға неғізделген. Классикалық пластиналар теориясы негізінен жұқа пластиналарды есептеуде қолданылады [1,2]. Пластинаның илу сипаттамаларынан ұзындығы мен еніне қарағанда қалындығының әсері көп болатындығын көруге болады [3,4]. Зерттеушілер қалын пластиналарды есептеуде ығысу деформациясының әсері ескерілмегендіктен, классикалық теорияның жарамсыз екенін анықтады [5-8]. Бұл кемшілік пластинаның нақтыланған теориясының дамуына экелді [9-11]. Сонымен қатар, әртурлі бекітілген тікбұрышты пластинаны ақырлы элементтер әдісімен есептеу келесі жұмыстарда кездеседі [12-15].

Тікбұрышты жұқа изотропты пластинаны есептеуде классикалық теорияның көптеғен кемшіліктері болғандықтан, мақалада есептеу әдістерін жетілдіру және нақтыланған теорияларды құру ұсынылады. Бұл жұмыста тікбұрышты жұқа изотропты пластинаны есептеу үшін айнымалыларды бөлу әдісі қолданылады. Пластинаның майысу функциясы арқалықтың майысу функцияларының көбейтіндісі түрінде қабылданады. Бұл ұсынылған әдіс арқылы пластиналардың кернеулік-деформациялық күйін онай турде анықтауға болады.

Материалдар және зерттеу әдістер. Тікбұрышты жұқа изотропты пластинаны координаттық жүйеде қарастырайық (1-сурет). Координаттық жүйеде жұқа изотропты пластина былайша қабылданады:  $-z_1 \leq x_1 \leq z_1, -z_2 \leq x_2 \leq z_2, -z_3 \leq x_3 \leq z_3, z_1 = \frac{a_1}{2}, z_2 = \frac{a_2}{2}, z_3 = \frac{h}{2}$ , мұндағы  $a_1, a_2, h$  – пластинаның  $x_1, x_2, x_3$  координаттық өстөрі бойындағы өлшемдері. Бұл пластинаға әсер ететін сыртқы көлденен құштің қарқындылығы  $q(x_1, x_2)$  болып табылады.



1-сурет. Тікбұрышты жұқа изотропты пластина

Осы пластинаны есептеу үшін Кирхгоф-Лявтың классикалық теориясын қолданайық. Классикалық теорияны жүзеге асыру келесі әдісті пайдалану арқылы жүргізіледі:

– Майысу функциясы анықталады.

$$W(x_1, x_2) = W_0 \cdot f(x, y), \quad f(x, y) = X(x) \cdot Y(y), \quad x = \frac{x_1}{a_1}, \quad y = \frac{x_2}{a_2}, \quad (1)$$

мұнда  $W_0$  – ең үлкен майысу,  $f(x, y)$  – пластинаның өлшемсіз майысу функциясы,  $X(x)$ ,  $Y(y)$  – пластинаның талшықтарының (арқалықтардың) шекаралық шарттарды қанағаттандыратын белгілі өлшемсіз функциялары,  $(x, y)$  – өлшемсіз координаталар.

– Бұрылу бұрыштары табылады.

$$\theta_1 = -\theta_1^0 \frac{\partial f}{\partial x}, \quad \theta_1^0 = \frac{W_0}{a_1}, \quad \theta_2 = -\theta_2^0 \frac{\partial f}{\partial y}, \quad \theta_2^0 = \frac{W_0}{a_2}, \quad (2)$$

мұнда  $\theta_1, \theta_2$  – пластинаның нормалының  $x_1, x_2$  – координаттық өстер бойындағы бұрылу бұрыштары.

– Ішкі күштер анықталады.

$$\begin{aligned} M_1 &= -M_1^0 \cdot m_1(x, y), \quad M_1^0 = \frac{D \cdot W_0}{a_1^2}, \quad m_1(x, y) = \frac{\partial^2 f}{\partial x^2} + V \cdot m^2 \frac{\partial^2 f}{\partial y^2}, \\ M_2 &= -M_2^0 \cdot m_2(x, y), \quad M_2^0 = \frac{D \cdot W_0}{a_2^2}, \quad m_2(x, y) = \frac{\partial^2 f}{\partial y^2} + \frac{V}{m^2} \cdot \frac{\partial^2 f}{\partial x^2}, \\ M_{12} &= -M_{12}^0 \frac{\partial^2 f}{\partial x \partial y}, \quad M_{12}^0 = \frac{D(1-V) \cdot W_0}{a_1 a_2}, \quad m^2 = \frac{a_1^2}{a_2^2}, \\ Q_1 &= -Q_1^0 \cdot q_1(x, y), \quad Q_1^0 = \frac{D \cdot W_0}{a_1^3}, \quad q_1(x, y) = \frac{\partial^3 f}{\partial x^3} + m^2 \frac{\partial^3 f}{\partial x \partial y^2}, \\ Q_2 &= -Q_2^0 \cdot q_2(x, y), \quad Q_2^0 = \frac{D \cdot W_0}{a_2^3}, \quad q_2(x, y) = \frac{\partial^3 f}{\partial y^3} + \frac{1}{m^2} \cdot \frac{\partial^3 f}{\partial y \partial x^2}, \\ \bar{M}_{12} &= \frac{M_{12}^0}{k^2 a_1^2} \frac{\partial q_1}{\partial y} = \frac{M_{12}^0}{k^2 a_2^2} \frac{\partial q_2}{\partial x}, \end{aligned} \quad (3)$$

мұнда  $M_1, M_2$  –  $x_1, x_2$  координаттық өстері бойындағы иілу моменттері,  $M_{12}$  – (классикалық теория),  $\bar{M}_{12}$  – (ұсынылып отырған жаңа теория) пластинаның шеттеріндегі бұралу моменттері,  $Q_1, Q_2$  – координаттық өстерге  $x_1, x_2$  – перпендикуляр көлденең күштер,  $m^2$  – пластинаның өлшемдерінің квадратының қатынасы,  $D$  – цилиндрлік қатаңдық,  $V$  – Пуассон коэффициенті.

Сыртқы көлденең күштің қарқындылығы ішкі көлденең күштің қарқындылығы арқылы анықталады.

$$\begin{aligned} D\nabla^2\nabla^2W &= q(x, y), \\ P_0 \cdot S(x, y)q &= (x, y), \\ P_0 = \frac{D \cdot W_0}{a_1^2 a_2^2}, \quad S(x, y) = \frac{1}{m^2} \cdot \frac{\partial^4 f}{\partial x^4} + 2 \frac{\partial^4 f}{\partial x^2 \partial y^2} + m^2 \frac{\partial^4 f}{\partial y^4}, \end{aligned} \quad (4)$$

мұнда  $q(x, y)$  – пластинаға  $x_3$  есі бойымен әсер ететін сыртқы жайылған жүктеменің қарқындылығы,  $P_0$  – майысу параметрі,  $S(x, y)$  – пластинаның ішкі күштерінің қарқындылығы.

(4) теңдеуді түрлендіру арқылы тепе-тендік теңдеуінің шарттары алынады.

$$\begin{aligned} a) P_0^1 &= \frac{q(x_0, y_0)}{S(x_0, y_0)}, \\ b) P_0^2 &= \frac{\int_{-z}^z \int_{-z}^z q(x, y) dx dy}{\int_{-z}^z \int_{-z}^z S(x, y) dx dy}, \\ c) P_0^3 &= \frac{\int_{-z}^z \int_{-z}^z q(x, y) \cdot f(x, y) dx dy}{\int_{-z}^z \int_{-z}^z S(x, y) \cdot f(x, y) dx dy}, \quad z = \frac{1}{2} \end{aligned} \quad (5)$$

мұнда  $x_0, y_0$  – пластинаның таңдал алынған нүктесінің координаталары, а) сыртқы және ішкі жүктемелердің теңдігі, б) сыртқы және ішкі жүктемелердің тең әсерлі күштерінің теңдігі, с) осы жүктемелердің жұмыстарының теңдігі.

Пластинаның деформациялық күйінің параметрі анықталады.

$$\begin{aligned} a) k^2 a_1^2 \frac{\partial^2 f}{\partial x \partial y} \Big|_{y=y_0}^{x=x_0} &= - \frac{\partial q_1}{\partial y} \Big|_{y=y_0}^{x=x_0}, \\ b) \frac{\partial^2 f}{\partial x^2} + m^2 \frac{\partial^2 f}{\partial y^2} &= -k^2 a_1^2 f(x, y), \\ c) k^2 a_1^2 &= \frac{X''(x_0)}{X(x_0)} + m^2 \frac{Y''(y_0)}{Y(y_0)}, \end{aligned} \quad (6)$$

мұнда а) нүктедегі бұралу моменттерінің теңдігі ( $M_{12} = \bar{M}_{12}$ ), б) мембранның еркін тербеліс теңдігінің меншікті саны түрінде, с) арқалықтық майысу функцияларын қолдану арқылы.

Пластинаның шеттері мынандай шекаралық шарттар орындалады:

а) пластинаның шеттері  $x_1 = \pm z_1$  топсалы тірелғен болғанда

$$W = W_0 \cdot f(\pm z, y) = 0, M_1 = -M_1^0 \cdot m(\pm z, y) = 0, \theta_2 = 0 \quad (7)$$

б) пластинаның шеттері  $x_2 = \pm z_2$  бекітілғен болғанда

$$W = W_0 \cdot f(x, \pm z) = 0, \theta_1 = 0, \theta_2 = 0 \quad (8)$$

в) пластинаның шеттері  $x_1 = \pm z_1$  бос болғанда (байланыс болмаса)

$$Q_1 = -Q_1^0 \cdot q_1(\pm z, y) = 0, M_1 = 0, \bar{M}_{12} = \frac{M_{12}^0}{k^2 a_1^2} \frac{\partial q_1}{\partial y} \quad (9)$$

(9)-шы шарттағы бұралу моменті ( $\bar{M}_{12}$ ) көлденен қашақ (Q<sub>1</sub>) өрнегін қолдану арқылы анықталады.

Ұсынылған айнымалыларды бөлу әдісі бойынша кез келген пластина келесі алгоритм бойынша есептеледі:

- 1) Координаттық жүйе және есептеу үлғісі (пластина, жақтардағы байланыстар, сыртқы күштер) таңдалынып алынады;
- 2) Пластинаның талшықтарының (көлденен, тік) өлшемсіз майысу функциялары X(x), Y(y) арқалықтардың нормаланған майысу функциялары түрінде қабылданады;
- 3) Пластинаның өлшемсіз майысу функциясы (1) табылады да, оның туындылары анықталады;
- 4) Ишкі күштердің таралу функциялары (3) табылады;

- 5) Пластинаның шеттеріндегі шекаралық шарттардың (7)-(9) орындалуы тексеріледі.
- 6) Үлкен майысу параметрі  $P_0$  (5) бойынша табылып, бұрылу бұрыштарының және ішкі күштердің көбейткіштері анықталады;
- 7) Бұрылу моментінің параметрі (6) анықталып, оның өзгеру заңдылығы табылады;
- 8) Пластинаның шеттеріндегі көлденең күштердің (тік реакциялардың) тең әсерлі күштері анықталады;
- 9) Пластинаның тепе-тендігі және іллюстрированың деформациялық және кернеулік күйлерін сипаттайтын эпюралар тұрғызылып, олар бойынша талдау және қорытынды жасалынады.

Шеттері әртүрлі бекітілген тікбұрышты жұқа изотропты пластинаның деформациялық және кернеулік күйлерін анықтайтын формулалар (1)-(9) болып табылады.

Осы алгоритм бойынша шеттері топсалы бекітілген тікбұрышты жұқа изотропты пластинаның іллюстрированың есебін шыгарайық.

Нәтижелері және оларды талқылау. Шеттері топсалы бекітілген тікбұрышты жұқа изотропты пластинаға тұрақты тараған күш  $q(x_1, x_2) = q_0$  түсірілген (1-сурет). Пластинаның деформациялық және кернеулік күйін анықтау керек.

Пластинаның барлық шеттері топсалы тіректер арқылы бекітілген болғандықтан, оның талшықтарының өлшемсіз майысу функцияларын белгілі арқалықтардың майысу функциялары түрінде аламыз.

$$X(x) = 1 - \frac{24}{5}x^2 + \frac{16}{5}x^4, \quad Y(y) = 1 - \frac{24}{5}y^2 + \frac{16}{5}y^4 \quad (10)$$

Осы (10) формуланы қолданып, тікбұрышты жұқа изотропты пластинаның майысу функциясы (1) мен ішкі күштерінің (3) нәтижелері кестелер мен графиктер түрінде анықталды.

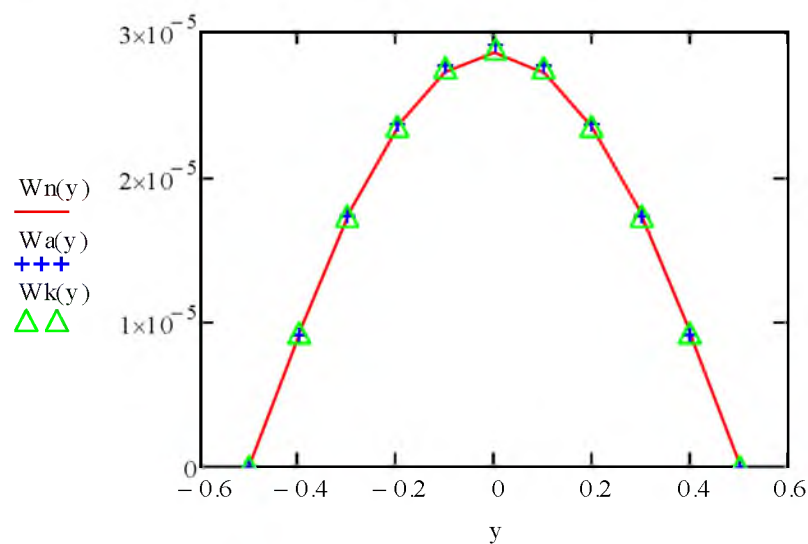
**1-кесте.** Топсалы бекітілген пластинаның майысу функциясының ең үлкен мәндері

| $a_2/a_1$ | $a_1/h$ | Әдіс              | $W_{max}$ | %   | $a_2/a_1$ | $a_1/h$ | Әдіс              | $W_{max}$ | %   |  |
|-----------|---------|-------------------|-----------|-----|-----------|---------|-------------------|-----------|-----|--|
| 1         | 5       | Навье             | 0,0000286 | 1,8 | 5         | 5       | Навье             | 0,0000712 | 4,6 |  |
|           |         | Ақырлы элементтер | 0,0000288 |     |           |         | Ақырлы элементтер | 0,0000728 |     |  |
|           |         | Ұсынылған         | 0,0000290 |     |           |         | Ұсынылған         | 0,0000745 |     |  |
|           | 10      | Навье             | 0,0002285 | 1,8 |           | 10      | Навье             | 0,0005695 | 4,6 |  |
|           |         | Ақырлы элементтер | 0,0002310 |     |           |         | Ақырлы элементтер | 0,0005845 |     |  |
|           |         | Ұсынылған         | 0,0002327 |     |           |         | Ұсынылған         | 0,0005956 |     |  |
|           | 100     | Навье             | 0,2284890 | 1,8 |           | 100     | Навье             | 0,5695823 | 4,6 |  |
|           |         | Ақырлы элементтер | 0,2299445 |     |           |         | Ақырлы элементтер | 0,5889811 |     |  |
|           |         | Ұсынылған         | 0,2327075 |     |           |         | Ұсынылған         | 0,5956077 |     |  |

**2-кесте.** Топсалы бекітілген пластинаның ішкі күштерінің ең үлкен мәндері

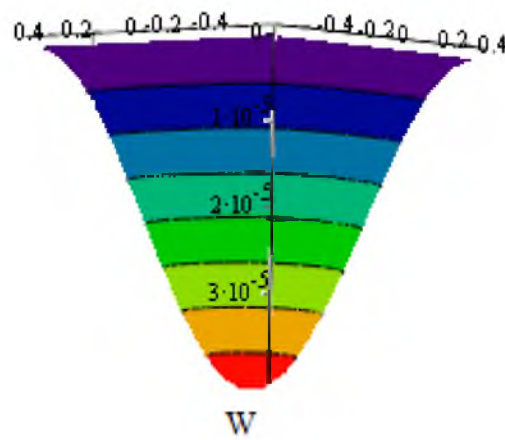
| $a_2/a_1$ | $a_1/h$ | Әдіс              | $M_{1max}$ | $M_{2max}$ | $Q_{1max}$ | $Q_{2max}$ | $M_{12max}$ |
|-----------|---------|-------------------|------------|------------|------------|------------|-------------|
| 1         | 10      | Навье             | 0,0459     | 0,0459     | 0,3120     | 0,3120     | 0,0345      |
|           |         | Ақырлы элементтер | 0,0482     | 0,0482     | 0,3054     | 0,3054     | 0,0368      |
|           |         | Ұсынылған         | 0,0496     | 0,0496     | 0,2860     | 0,2860     | 0,0386      |
|           |         | %                 | 8,0        | 8,0        | 8,3        | 8,3        | 11,8        |

1-кестеде тікбұрышты пластинаның шеттерінің өлшемдерінің қатынасы және бір жағының өлшемінің қалындығына қатынасы әртүрлі болған жағдайдағы ең үлкен майысу функциясының Навье, ақырлы элементтер мен ұсынылған айнымалыларды бөлу әдісі бойынша табылған мәндері көрсетілген. 2-кестеде тікбұрышты жұқа изотропты пластинаның ілу моменттері, көлденең құштері және бұралу моментінің ең үлкен мәндері анықталған. 2-суретте тікбұрышты жұқа изотропты пластинаның бір талшығының майысу функциясының максимал мәндері Навье, ақырлы элементтер әдісі және айнымалыларды бөлу әдісі бойынша тікбұрышты жұқа изотропты пластинаның майысу функциясы мен ішкі құштерінің эпюралары тұрғызылған. Кестелер және суреттерден айнымалыларды бөлу әдісінің басқа әдістермен салыстырғандағы майысу функциясы мен ішкі құштерінің мәндерінің алшақтығы аз болатындығын көруғе болады.

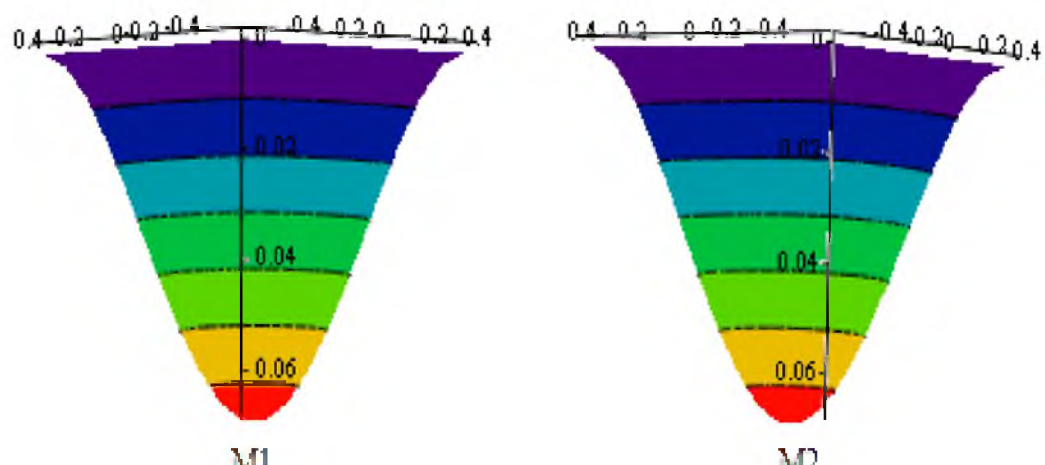


2-сурет. Ең үлкен майысу функциясының эпюрасы

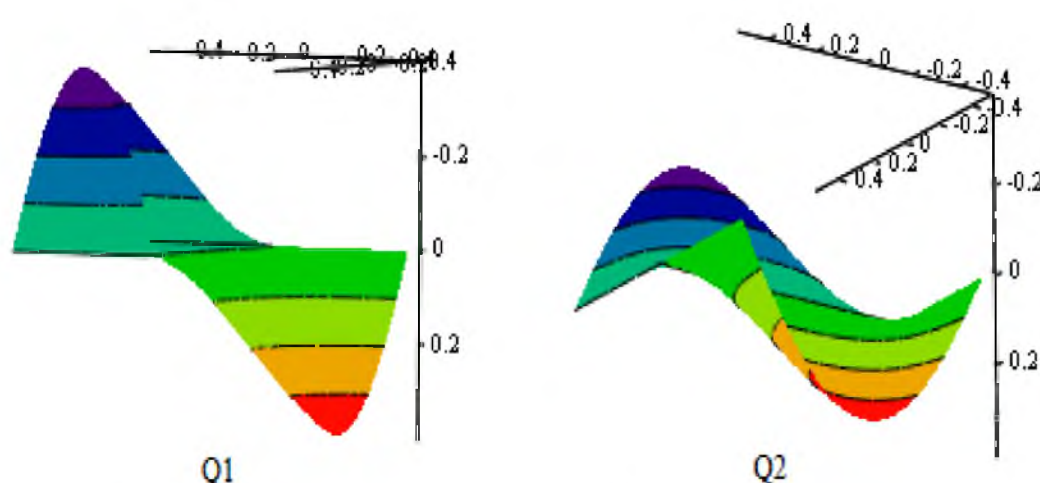
мұндағы  $W_n$  – Навье әдісі,  $W_k$  – ақырлы элементтер әдісі,  $W_a$  – айнымалыларды бөлу әдісімен табылған ең үлкен майысу функциясының мәндері.



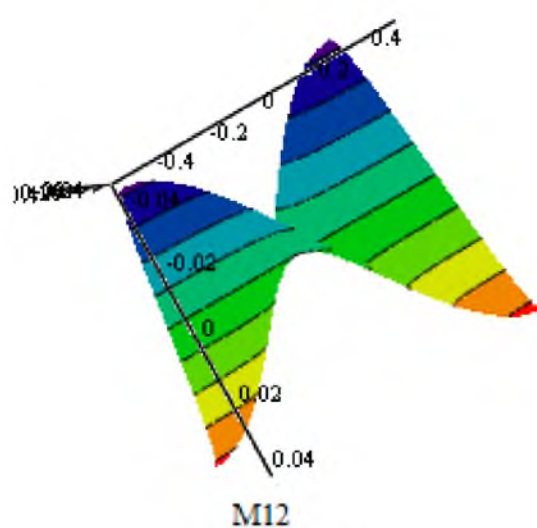
3-сурет. Майысу функциясының эпюрасы



4-сурет. Илү моменттерінің эпюрасы



5-сурет. Көлденен күштердің эпюрасы



6-сурет. Бұралу моментінің эпюрасы

*Қорытынды.* Алынған нәтижелерді сарапай келе келесі қорытындыларға келүғе болады:

1. Айнымалыларды бөлу әдісі бойынша басқа аналитикалық және сандық әдістерден қарағанда пластинаның иілу есебінің шешімін қарапайым полиномдар арқылы алғып, жалпыланған қатаңдығы бар арқалықтың иілу есебіне келтіруға болатындығы анықталды.
2. Мысал түрінде шеттері топсалы тірелғен тікбұрышты изотропты пластинаның иілу есебі шығарылды.
3. Есептеу нәтижелері кестелер мен эпюралар түрінде көрсетіліп, аналитикалық Навье әдісі және ақырлы элементтер әдісімен салыстырылды.
4. Салыстыру барысында пластинаның майысу функциясы мен ішкі күштерінің мәндерінде алшақтық өте аз болғандықтан, ұсынылған әдіс арқылы алынған нәтижелердің дұрыстығын көрүғе болады.

Ұсынылған отырған айнымалыларды бөлу әдісімен кез келген түрде бекітілғен тікбұрышты изотропты пластинаның кернеулік-деформациялық күй қарапайым түрде анықталады.

#### References

1. Mathieu G.O., Tyekolo D., Belay S. The nonlinear bending of simply supported elastic plate // Rudn Journal of Engineering Researches. – 2017. – 18(1). – P. 58-69. DOI: 10.22363/2312-8143-2017-18-1-58-69.
2. Fogang V. Bending Analysis of Isotropic Rectangular Kirchhoff Plates Subjected to a Thermal Gradient Using the Fourier Transform Method // Preprints. – 2021. – 2021060479. DOI: 10.20944/preprints202106.0479.v1
3. Mama B.O., Oguaghamba O.A., Ike C.C. Single Finite Fourier Sine Integral Transform Method for the Flexural Analysis of Rectangular Kirchhoff Plate with Opposite Edges Simply Supported, Other Edges Clamped for the Case of Triangular Load Distribution // IJERT. – 2020. – 13(7). – P. 1802-1813. DOI: 10.37624/IJERT/13.7.2020.1802-1813
4. Mama B.O., Nwoji C.U., Ike C.C., Onah H.N. Analysis of simply supported rectangular Kirchhoff plates by the finite Fourier sine transform method // International Journal of Advanced Engineering Research and Science. – 2017. – 4(3). – P. 285–291. DOI: 10.22161/ijers.4.3.44
5. Ezech J.C., Ibearugbulem O.M., Ettu L.O., Gwarah L.S., Onyechere I.C. Application of shear deformation theory for analysis of CCCS and SSFS rectangular isotropic thick plates // Journal of Mechanical and Civil Engineering (IOSR-JMCE). – 2018. – 15(5). – P. 33 – 42. DOI: 10.9790/1684-1505023342
6. Khoma I.Y., Proshchenko T.M. The Stress State of a Transversely Isotropic Plate with a Curvilinear Hole for a Given Splitting Force on the Boundary Surface // Int. Appl. Mech. – 2019. – 55. – P. 434–448. DOI: 10.1007/s10778-019-00963-1
7. Onodagu P.D., Aginam C.H., Uzodinma C.F. Flexural Analysis of Thick Isotropic Rectangular Plates Using Orthogonal Polynomial Displacement Functions // European Journal of Engineering and Technology Research. – 2021. – 7(6). – P. 144 – 152. DOI: 10.24018/ejers.2021.6.7.2690
8. Onyechere C., Ibearugbulem O.M., Anya U.C., Anyaogu L., Awodiji C.T.G. Free-vibration study of thick rectangular plates using polynomial displacement functions // Saudi Journal of Engineering and Technology. – 2020. – 5(2). – P. 73-80. DOI: 10.36348/sjet.2020.v05i02.006
9. Enem J.I. Nonlinear Analysis of Isotropic Rectangular Thin Plates Using Ritz Method // Saudi Journal of Engineering and Technology. – 2022. – 7(8). – P. 502-512. DOI: 10.36348/sjet.2022.v07i08.011
10. Onyeka F.C., Edozie O.T. Analytical Solution of Thick Rectangular Plate with Clamped and Free Support Boundary Condition Using Polynomial Shear Deformation Theory // Advances in Science, Technology and Engineering Systems Journal. – 2021. – 6(1). – P. 1427–1439. DOI: 10.25046/aj0601162
11. Ibearugbulem M.O., Onyeka F.C. Moment and Stress Analysis Solutions of ClampedRectangular Thick Plate // European Journal of Engineering Research and Science. – 2020. – 5(4). – P. 531-534. DOI: 10.24018/ejers.2020.5.4.1898
12. Sobamowo M.G., Agbelusi C.T., Oladosu S.A., et al. Finite element analysis of vibration of an isotropic thin rectangular plate subjected to differentboundary conditions under point and uniformly distributed loadings. – Aeron Aero Open Access J. – 2022. – 6(4). – P. 196-205. DOI: 10.15406/aaoj.2022.06.00162